

УДК 539.26

ТЕХНИЧЕСКАЯ ФИЗИКА

В. Н. СУСЛОВА, Н. И. ШМИДОВА, Е. К. ЗАВАДОВСКАЯ, Р. А. ЗВИНЧУК

**ДИФФУЗНОЕ РАССЕЯНИЕ РЕНТГЕНОВСКИХ ЛУЧЕЙ
МОНОКРИСТАЛЛАМИ РАСПАДАЮЩИХСЯ ТВЕРДЫХ
РАСТВОРОВ $\text{NaCl} - \text{AgCl}$**

(Представлено академиком Г. В. Курдюмовым 20 X 1969)

Ниже 200° наблюдается распад растворов $\text{NaCl} - \text{AgCl}$ в широком интервале концентраций, при комнатной температуре от 95 до 10% (всегда мол. % AgCl)⁽¹⁾. По данным о коэффициентах активности компонентов взаимная растворимость в окрестности 0° может практически отсутствовать⁽¹¹⁾.

Нами исследованы дифракционные эффекты, обусловленные распадом в кристаллах, содержащих от 10 до 25%. Такие растворы выращивались по Киропулосу, на затравках NaCl . Ниже 500° слитки резко охлаждались на воздухе, выкальвались образцы толщиной 0,5—1 мм, хранившиеся в экспонаторах в светонепроницаемой упаковке. В связи с ликвидацией, неоднородностью по высоте слитка существенным было определение состава каждого отдельного образца. Использовалась линейная зависимость параметра решетки от концентрации, отражения 640 (CuK_α) и 440 (FeK_α) на снимках качания в камере РКУ-114. При комнатной температуре были приняты значения $a = 5,640 \text{ \AA}$ для NaCl ⁽²⁾ и $5,549 \text{ \AA}$ для AgCl ⁽³⁾. Погрешность определения концентрации $\pm 2\%$.

Распад растворов (10% и более) протекает быстро, при хранении от двух недель до месяца визуально наблюдается «молочное» помутнение — признак конечной стадии распада. Поэтому непосредственно до начала исследования кристаллы подвергались гомогенизации, отжигу при 500° 1 час, с последующей закалкой. Способы закалки, принятые в металлофизике, приводят к разрушению ионных кристаллов. По опыту⁽⁴⁾ применялась «быстрая закалка» — выброс непосредственно образца с 500° на металлический блок при $15-20^\circ$ и «медленная закалка» — перенос лодочки с образцом на такой блок, что воспроизведимо соответствовало переходу $500 \rightarrow 25^\circ$ за 2 мин. Способ закалки не вызывает принципиальных различий в последующем поведении раствора.

Распределение рассеяния в обратном пространстве изучалось обычными методами: последовательных поворотов неподвижного кристалла⁽⁵⁾, качания и вращения (смешанное излучение меди). Кристаллы юстировались для поворотов вокруг [100], либо [110]. Исследовались изменения дифракционной картины при изотермическом распаде от 25 до 120° . В изученном поле фазовой диаграммы распад протекает однотипно, изменение температуры и концентрации меняет лишь кинетику процесса.

Ограничимся на примере распада при комнатной температуре основными особенностями явления. Как и в случае $\text{NaCl} - \text{KCl}$ ⁽⁴⁾, при распаде временно существуют три фазы: обогащенная AgCl (фаза I), обогащенная NaCl (фаза II) и исходный раствор (фаза III). Четко различаются две стадии распада: начальная стадия сферических выделений I и II, параллельных решетке III (кристаллы сохраняют визуальную прозрачность) и конечная стадия, связанная с изменением формы и ориентации выделений I, при сохранении исходной установки фазой II (кристаллы становятся

ся эмалевидными; подобно $\text{NaCl} - \text{KCl}$, «молочное» окрашивание однозначно связано с разориентацией сосуществующих фаз). На рис. 4 приведена типичная кривая изменения микротвердости в процессе распада. При комнатной температуре пики менее выражены (практически не удается наблюдать повторный спад), особенно с приближением концентрации к 10%. Изменения электропроводности и тангенса угла диэлектрических потерь свидетельствуют о сегрегации и в более разбавленных растворах⁽¹⁰⁾. После закалки растворов до 10% рентгенографически не обнаруживается признаков распада, от 10 до 15% начальная стадия наблюдается часто, выше 15% — без исключений. Диффузное рассеяние, характерное до начальной стадии, подобно рассеянию в случае металлических распадающихся растворов $\text{Al} - \text{Ag}$, $\text{Al} - \text{Zn}$ ⁽⁶⁻⁸⁾ (см. рис. 1).

Анализ геометрии рассеяния^(5, 6) показал, что в окрестности каждого узла обратной решетки (о.р.) исходного раствора возникают две диффузные сферические области, смешанные вдоль вектора узла к большим и меньшим углам рассеяния. Центры областей отвечают узлам о.р. равновесных фаз I, II, близких по составу к чистым компонентам ($a = 5,55$ и $5,63 \text{ \AA}$). Для больших индексов (рис. 1 $\theta - z$) разрешаются неперекрывающиеся диффузные области и собственно ближайшая окрестность узла III. С уменьшением индексов все три области сближаются и перекрываются. Наблюдаются, как на снимках неподвижных кристаллов, так и на рентгенограммах, качания зоны пониженной интенсивности (рис. 1 $a - g$), возникающие при сложении противоположных по знаку амплитуд когерентного рассеяния решетками, существующими в распадающемся кристалле. Сложные области рассеяния явственно различны у узлов различной четности. Узлам с четными индексами сопутствует рассеяние, подобное случаю сателлитов (рис. 1 g). Узлы о.р. с нечетными индексами окружены «полыми», асимметричными областями, сходными с дифракционными эффектами в случае сферических начальных выделений в металлических растворах (рис. 1 $a - e$, участок рентгенограммы a повернут на 90°). Это различие согласуется с соответствующим различием структурных амплитуд и, с учетом разницы атомных амплитуд натрия и серебра, убедительно подтверждает существование трех растворов (I, II, III).

Рис. 3. Начальная стадия распада.

Непрерывная запись отражения 400. ДРОН, кварцевый монохроматор, $\text{Cu}K_{\alpha}$

имп. \cdot сек $^{-1}$

им

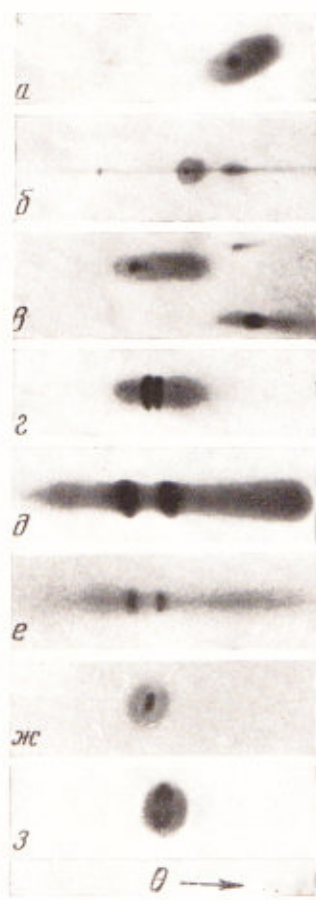


Рис. 1

Рис. 1. Диффузное рассеяние в окрестности брэгговских отражений на первой стадии распада. Цилиндрическая пленка, смешанное излучение меди. Снимки качания, ось поворотов [110]: α — 311 α на второй слоевой; β — 335 β нулевая сл.; γ — 533 α и 426 β первая сл.; δ — 117 α нулевая сл.; ϵ , ζ — неподвижный кристалл, сечения в окрестности 117. Ось поворотов [001], качание, нулевая сл.: ϑ — 620 α ; ϑ — 640 α

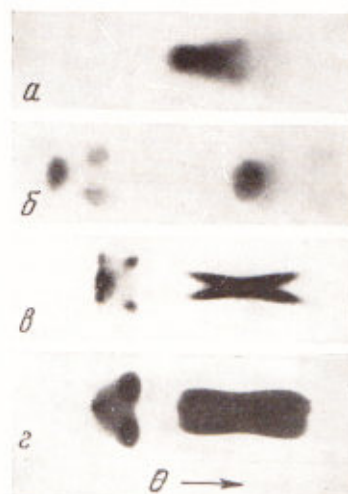


Рис. 2

Рис. 2. Вторая стадия распада, ось поворотов [001]. Рефлексы существующих фаз II, III, I (слева направо), цилиндрическая пленка: α — качание, 620, явствует расщепление, рефлексы III, I размыты, сливаются с фоном; β — вращение 600 и 620, рефлексы более четкие, разрешаются «остаточные» 630 III. Плоская пленка, окрестность 200: γ , ζ — неподвижные кристаллы, различающиеся разориентацией блоков; вертикальная пара пятен — сечения узлов (стержней ||[111]) фазы I.

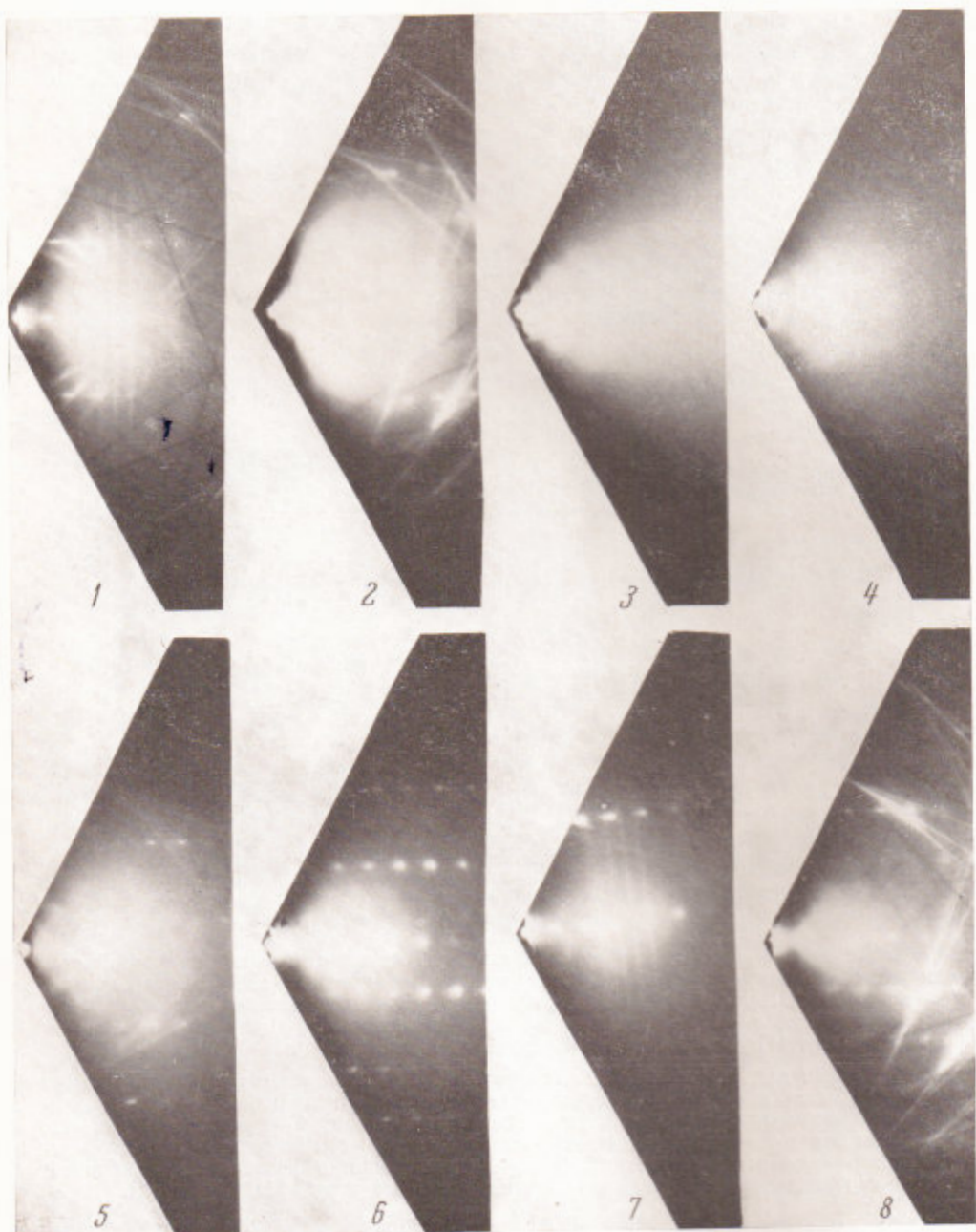


Рис. 3. Электронограммы облученной ионами B^+ поверхности Si после удаления слоев различной толщины (доза 1000 нкул/ cm^2 , энергия 50 кэВ). Толщина слоя (\AA): 1 — 400; 2 — 800; 3 — 1200; 4 — 1600; 5 — 2000; 6 — 2400; 7 — 2800; 8 — 3200

На рис. 1 χ , з приведены снимки неподвижного кристалла, когда узел о.р. III заключен между сферами Эвальда для a_1 и a_2 . Наблюдается лау- пятно на некоторой промежуточной длине волны и характеристический диффузный ореол, подтверждающий существование области диффузного рассеяния у узлов III. Эти наблюдения противоречат «концентрической» модели (выделение, обединенный слой, матрица) и заставляют рассматривать модель пространственно независимых выделений I, II (поскольку амплитуды рассеяния фазами I, II имеют один и тот же знак, противоположный знаку амплитуды рассеяния матрицы III). Оценка диаметров начальных выделений по наблюдающимся эффектам формы дает обычные величины порядка 50 Å (8).

При переходе к второй стадии распада сферические области рассеяния исчезают, рефлексы на рентгенограммах принимают форму рис. 2 a (ср. с рис. 1 χ). Постепенно формируются совокупности рефлексов типа рис. 2 b . Лау- пятна расщепляются правильным образом (рис. 2 c , z), каждое сопровождается четырьмя или двумя. (В зависимости от ориентации плоскости рассеяния «лау-сателлитами» чаще, как на приведенных снимках, эти сателлиты сливаются с центральным пятном, образуя «косой крест» или «гантель», однако при надлежащем выборе кристалла и коллиматора наблюдается полное разрешение.) Все эти изменения отражают то обстоятельство, что укрупненные частицы I принимают четыре ориентации, отвечающие равновероятным и тождественным поворотам о.р. I на угол $\leqslant 5^\circ$ вокруг $\langle 111 \rangle$ исходного кристалла. Тождественным образом ориентируются и остаточные, еще не распавшиеся участки фазы III. Исходную ориентацию сохраняет количественно доминирующую фазу II, выполняющая теперь роль «матрицы» (рис. 2 b). Серии поворотов обнаруживают эффекты двухмерной дифракции (рис. 2 c , z), отвечающие сечениям стержней, исходящих из узлов о.р. I вдоль $\langle 111 \rangle$. Через узлы одной ориентации (одной о.р. I из четырех) проходят стержни одного направления (например, [111]), параллельного оси поворота данной о.р. Если эти стержни обусловлены эффектом формы, то габитусные плоскости типа (111) пластинок I параллельны одноименным плоскостям окружающего исходного раствора, и толщина выделений I в начале второй стадии не превосходит 200 Å. Не исключено, что стержни двухмерной дифракции обусловлены плоскими нарушениями (типа дефектов упаковки) в решетке AgCl при вторичном процессе выделения серебра. Эффектам формы (малой толщине выделений I) противоречит, например, относительная четкость рефлексов I, появление индивидуальных лау- пятен для каждой ориентации фазы I на поздних этапах второй стадии, когда вклад от параллельных остаточных участков III неизбежно стремится к нулю.

Тождественность разориентации фаз I, III по отношению к фазе II следует считать также доводом в пользу пространственной независимости выделений I, II. В случае «концентрических» выделений следовало бы ожидать, прежде всего, сохранения исходной установки III на всех стадиях распада и параллельности решеток I, II или II, III. Так, в случае KCl — NaCl (4) наблюдалось аналогичное расщепление лау- пятен при выделении типа декорирования в двух узких температурно концентрационных зонах, примыкающих к границе растворимости. Однако соответствующую разориентацию (повороты вокруг $\langle 111 \rangle$) обнаруживали частицы только одной из двух сопряженно выделяющихся фаз — фазы состава, далекого от исходного, т. е. I. Решетки II, III сохранили параллельность в исходной установке.

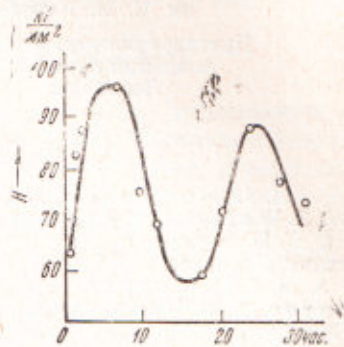


Рис. 4. Изменение микротвердости раствора (20%) при 90°

Если независимое формирование частиц сопряженных равновесных фаз в $\text{NaCl} - \text{AgCl}$ будет подтверждено электронномикроскопическим исследованием, то эта система может служить удобной моделью такой нетривиальной ситуации. Данные о кинетике процесса, поведении микротвердости, результатах анализа количественных дифрактометрических измерений диффузного рассеяния и влиянии рентгеновского облучения на распад будут изложены в более подробных сообщениях.

Томский политехнический институт
им. С. М. Кирова

Поступило
14 X 1969

Институт полупроводников
Академии наук СССР
Ленинград

ЦИТИРОВАННАЯ ЛИТЕРАТУРА

- ¹ R. I. Stokes, C. H. Li, Acta Metallurgica, **10**, 535 (1962). ² W. T. Barret, W. E. Wallace, J. Am. Chem. Soc., **76**, 366 (1954). ³ И. Е. Swanson, R. K. Fugett, G. M. Ugrinic, Structure Reports, **17**, 320 (1953). ⁴ Р. А. Звичук, Диссертация, Ленинград, 1964. ⁵ А. М. Елистратов, ДАН, **69**, 337 (1949); **87**, 581 (1952). ⁶ А. М. Елистратов, ДАН, **88**, 803 (1953); **101**, 69, 473 (1955). ⁷ А. М. Елистратов, Г. В. Клещев, Д. В. Шумилов, Сборн. Вопросы физики твердого тела, Челябинск, 1966, стр. 107. ⁸ Н. И. Буйнов, Р. Р. Захарова, Распад металлических пересыщенных твердых растворов, М., 1964. ⁹ Г. В. Клещев, Д. В. Шумилов и др., Тезисы докладов II Всесоюзн. совещ. по метастабильным состояниям в сплавах, Тбилиси, 1968, стр. 8. ¹⁰ Е. К. Завадовская, Д. А. Асанбаева, Изв. высших учебн. завед., Физика, № 1, 134 (1968). ¹¹ А. А. Назаров, ЖФХ, **39**, 1451 (1965).